

УДК 624.07 : 534.1

© 1991 г.

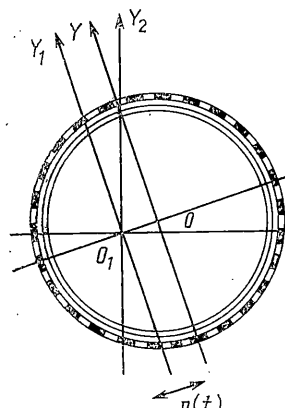
Е. П. КУБЫШКИН

## ВЛИЯНИЕ ВЫСОКОЧАСТОТНОЙ ВИБРАЦИИ НА ОРИЕНТАЦИЮ ВОЛНОВОГО ФРОНТА КОЛЬЦЕВОГО РЕЗОНАТОРА

В работе изучается влияние высокочастотной поперечной вибрации на ориентацию волнового фронта кольцевого резонатора [1]. Показано, что высокочастотная вибрация выделяет два возможных положения волнового фронта, одно из которых устойчиво, другое неустойчиво. Получена формула для скорости прецессии волнового фронта кольцевого резонатора, врачающегося относительно инерциального пространства и подверженного направленной высокочастотной вибрации.

**1. Постановка задачи.** Рассматривается кольцевой резонатор, представляющий собой тонкое идеальное круговое нерастяжимое кольцо радиуса  $R$ , совершающее в своей плоскости незатухающие колебания. Для

поддержания колебаний кольца используется параметрический способ возбуждения колебаний [1], для чего на резонатор и внешний кольцевой электрод подается переменное напряжение  $V(t) = V_0 \cos(\lambda_0 t)$ . Кроме этого, система кольцо — электрод вращается с постоянной угловой скоростью  $\Omega$  вокруг оси, перпендикулярной плоскости колебаний кольца и совершают высокочастотные колебания (вибрацию)  $p(t) = v \sin(\omega t)$  малой амплитуды вдоль одной из осей плоскости вращения. Схема рассматриваемой механической системы представлена на фиг. 1, где оси  $OXY$ ,  $O_1X_1Y_1$ ,  $O_1X_2Y_2$  соответственно связаны с кольцом, плоскостью вращения и инерциальным пространством.



Фиг. 1

Материал кольца считаем вязкоупругим, подчиненным следующей модели материала

$$\sigma^*(t) = E(I^* - \Gamma^*) \varepsilon^*(t) = E(\varepsilon^*(t) - \int_{-\infty}^0 R^*(\tau) \varepsilon(t+\tau) d\tau) \quad (1.1)$$

где  $\sigma^*(t)$ ,  $\varepsilon^*(t)$ ,  $E$ ,  $R^*(\tau) > 0$  соответственно напряжение, деформация, модуль Юнга и функция релаксации.

Обобщим нелинейные динамические уравнения упругого нерастяжимого кольца [1] на рассматриваемую механическую систему.

Положение точек средней линии кольца в плоскости  $OXY$  будем определять либо их декартовыми координатами  $x = x(s, t)$ ,  $y = y(s, t)$ , либо полярными  $r = r(s, t)$ ,  $\theta = \theta(s, t)$  ( $x = r \times \cos \theta$ ,  $y = r \sin \theta$ ). Здесь независимая переменная  $s$ , определяющая точку на кольце, представляет собой длину

дуги между рассматриваемой точкой и некоторой начальной точкой,  $t$  — время. В дальнейшем штрих обозначает производную по  $s$ , точка — по  $t$ .

Плотность кинетической энергии невибрирующего кольца в декартовых координатах  $x_1=x$ ,  $y_1=y$  имеет вид

$$T = \frac{1}{2} \rho S [x_1'^2 + y_1'^2 + 2\Omega(-x_1' y_1 + y_1' x_1) + \Omega^2(x_1^2 + y_1^2)]$$

где  $\rho$  и  $S$  соответственно плотность материала и площадь сечения кольца. С учетом вибрации  $x_1=x+p(t)$ ,  $y_1=y$  это дает

$$\begin{aligned} T = & \frac{1}{2} \rho S [x'^2 + 2p'(t)x' + p'^2(t) + y'^2 + 2\Omega(-x'y - p'(t)y + \\ & + y'x + y'p(t)) + \Omega^2(x^2 + 2p(t)x + p^2(t) + y^2)] \end{aligned}$$

Перейдя теперь к полярным координатам, будем иметь

$$\begin{aligned} T(\theta, \theta', r, r', t) = & \frac{1}{2} \rho S [r'^2 + r^2 \theta'^2 + 2p'(t)(r' \cos \theta - \\ & - r \sin \theta \theta') + p'^2(t) + 2\Omega(r^2 \theta' - p'(t)r \sin \theta + p(t)r' \times \\ & \times \sin \theta + p(t)r \cos \theta \theta') + \Omega^2(r^2 + 2p(t)r \cos \theta + p^2(t))] \end{aligned}$$

Получим выражения для плотности потенциальной энергии кольца. Введем в рассмотрение угол  $\Phi$  между нормалью к средней линии кольца и осью  $OX$ . Величина  $\Phi' - \Phi_0'$ , где  $\Phi_0 = s/R$  — угол, определяющий положение нормали недеформированного кольца, характеризует приращение кривизны кольца в рассматриваемой точке. Отсюда с учетом (1.1) плотность потенциальной энергии имеет вид  $\Pi(\Phi' - \Phi_0') = \frac{1}{2} EI(I^* - \Gamma^*)(\Phi' - \Phi_0')^2$ , где  $I$  — момент инерции сечения кольца относительно средней линии. Для  $\Phi - \Phi_0$  справедливо выражение [1]:

$$\Phi - \Phi_0 = \theta - \alpha - s/R, \quad \alpha = \operatorname{arctg}(r'/(r\theta'))$$

В итоге имеем следующую плотность функции Лагранжа:

$$L(\theta, \theta', r, r', \Phi', t) = T(\theta, \theta', r, r', t) - \Pi(\Phi' - \Phi_0')$$

Для получения уравнений динамики кольца воспользуемся вариационным принципом Гамильтона, для чего минимизируем функционал действия:

$$H = \int_{s_1}^{s_2} \int_{t_1}^{t_2} (L(\theta, \theta', r, r', \Phi', t) - \lambda f(\theta', r, r')) dt ds$$

где  $\lambda = \lambda(s, t)$  — неопределенный множитель Лагранжа, функция  $f(\theta', r, r')$  определяет уравнение связи  $f(\theta', r, r') = \frac{1}{2}[(r')^2 + (r\theta')^2 - 1] = 0$ , характеризующее условие нерастяжимости средней линии кольца.

В результате с учетом внешних электрических сил, приложенных к кольцу со стороны кольцевого электрода, плотность которых определяется выражением [1]:  $Q(r, t) = \frac{1}{2} \varepsilon_0 l V^2(t) / (d - R - r)^2$ , где  $\varepsilon_0$  — абсолютная электрическая постоянная вакуума,  $l$  — ширина электрода,  $d$  — расстояние между недеформированным кольцом и электродом, будем иметь следующую систему уравнений динамики изучаемого кольцевого резонатора

$$\begin{aligned} \rho S \left[ \frac{d}{dt} (r^2 \theta') - p''(t) r \sin \theta + 2\Omega(r r' + p'(t) r \cos \theta) + \Omega^2 p(t) r \sin \theta \right] - \\ - EI(I^* - \Gamma^*)(\Phi - \Phi_0)'' + \\ + EI[r r' (I^* - \Gamma^*) (\Phi - \Phi_0)'']' - (\lambda r^2 \theta')' = -Q(r, t) r \sin \alpha \quad (1.2) \end{aligned}$$

$$\begin{aligned} \rho S [r'' + p''(t) \cos \theta - r \theta'^2 - 2\Omega(r \theta' - p'(t) \sin \theta) - \\ - \Omega^2(r + p(t) \sin \theta)] - EI[r \theta' (I^* - \Gamma^*) (\Phi - \Phi_0)'']' - \end{aligned}$$

$$-EIr'\theta'(\Gamma^* - \Phi^*) (\Phi - \Phi_0)'' + \lambda r\theta'^2 - (\lambda r')' = \\ = Q(r, t) \cos \alpha \quad (1.3)$$

$$(r')^2 + (r\theta')^2 - 1 = 0 \quad (1.4)$$

В отсутствие высокочастотной вибрации  $\Omega=0$  электрические силы возбуждают в кольце стоячую волну, оси пучностей которой ориентируются случайным образом. Эта волна при  $\Omega \neq 0$  прецессирует вдоль кольца в обратном направлении с некоторой угловой скоростью [1]. В настоящей работе изучается влияние высокочастотной вибрации на ориентацию волны и ее скорость прецессии. Как оказывается, при  $\Omega=0$  высокочастотная вибрация выделяет два возможных расположения осей пучностей волны, одно из которых является асимптотически устойчивым, другое неустойчивым. В случае  $\Omega \neq 0$  ситуация выглядит следующим образом. Существует пороговое значение  $\Omega^* > 0$ , величина которого определяется амплитудой и частотой вибрации. При  $|\Omega| > \Omega^*$  указанные волны прецессируют вдоль кольца в обратном направлении с некоторой угловой скоростью, при  $|\Omega| < \Omega^*$  прецессия отсутствует. Для скорости прецессии волны получена формула, обобщающая соответствующий результат из [1].

**2. Переход в (1.2)–(1.4) к безразмерным переменным и постановка начально-краевой задачи.** Положим

$$\begin{aligned} s = R\varphi, r = R(1+r_1), \theta = \varphi + \theta_1, t = T_* t_* \\ T_* = [S_0 R^4 / (EI)]^{1/2}, \lambda = EI/R^2 \lambda_*, a_* = \epsilon_0 L V_0^2 R / (2EI) \\ d = R d_*, v = R v_*, \Omega = T_* \Omega_*, \omega = \omega_* / T_* \\ \lambda_0 = \lambda_{0*} / T_*, R_* \tilde{\gamma}(\tau_*) = R \tilde{\gamma}(T_* \tau_*) T_* \end{aligned}$$

Кроме того будем предполагать, что ядро релаксации  $R_* \tilde{\gamma}(\tau_*)$  в определенном смысле мало:  $\Gamma_* \tilde{\gamma} = \int_{-\infty}^{\tau_*} R_* \tilde{\gamma}(\tau_*) d\tau_* \ll 1$ , что дает возможность

ввести малый параметр  $\epsilon = \Gamma_* \tilde{\gamma}$ .

Заменим теперь  $\Gamma_* \tilde{\gamma} \rightarrow \epsilon \Gamma_* \tilde{\gamma}$ ,  $a_* \rightarrow \epsilon a_*$  и разрепшим уравнения (1.2) относительно  $\theta_1$ , считая  $\theta_1$  и  $r_1$  малыми. В результате, опустив звездочку, будем иметь следующую систему уравнений в безразмерных переменных

$$\begin{aligned} \theta_1'' + (1+2r_1+r_1^2)^{-1} \{ 2(1+r_1)r_1 \dot{\theta}_1 + v\omega^2 \sin(\omega t)(1+r_1) \times \\ \times \sin(\varphi+\theta_1) + 2\Omega[(1+r_1)r_1 \dot{\theta}_1 + v\omega \cos(\omega t)(1+r_1) \cos(\varphi+\theta_1)] + \\ + \Omega^2 v \sin(\omega t)(1+r_1) \sin(\varphi+\theta_1) + (\Gamma^* - \epsilon \Gamma^*) (\Phi - \Phi_0)'' + \\ + [(1+r_1)r_1'(\Gamma^* - \epsilon \Gamma^*)(\Phi - \Phi_0)'']' - [\lambda(1+r_1)^2(1+\theta_1')]' + \\ + \epsilon a \cos^2(\lambda_0 t)(1+r_1) \sin \alpha / (d-r_1)^2 \} = 0 \quad (2.1) \end{aligned}$$

$$\begin{aligned} r_1'' - v\omega^2 \sin(\omega t) \cos(\varphi+\theta_1) - (1+r_1)\theta_1'^2 - 2\Omega[(1+r_1)\theta_1' - \\ - v\omega \cos(\omega t) \sin(\varphi+\theta_1)] - \Omega^2[(1+r_1) + v \sin(\omega t) \times \\ \times \sin(\varphi+\theta_1)] - [(1+r_1)(1+\theta_1')(\Gamma^* - \epsilon \Gamma^*)(\Phi - \Phi_0)'']' - \\ - r_1'(1+\theta_1')(\Gamma^* - \epsilon \Gamma^*)(\Phi - \Phi_0)'' + \lambda(1+r_1)(1+\theta_1')^2 - \\ - (\lambda r_1')' - \epsilon a \cos^2(\lambda_0 t) \cos \alpha / (d-r_1)^2 = 0 \quad (2.2) \end{aligned}$$

$$(r_1')^2 + [(1+r_1)(1+\theta_1')]^2 - 1 = 0 \quad (2.3)$$

$$\Phi - \Phi_0 = \theta - \alpha - \varphi, \alpha = \operatorname{arctg}(r_1' / [(1+r_1)(1+\theta_1')])$$

Введем в рассмотрение вектор-функцию  $\mathbf{u} = \text{col}(\theta_1, r_1, \lambda)$  и запишем систему уравнений (2.1)–(2.3) в виде одного уравнения в операторной форме

$$A\ddot{\mathbf{u}} + \mathbf{F}(\dot{\mathbf{u}}, \mathbf{u}_\tau; \varepsilon) + \varepsilon \cos^2(\lambda_0 t) \mathbf{P}(\mathbf{u}) + v \sin(\omega t) \times \\ \times \mathbf{Q}(\varphi, \mathbf{u}) + 2\Omega \mathbf{Q}_1(\varphi, \dot{\mathbf{u}}, \mathbf{u}, \omega t; v) + \Omega^2 \mathbf{Q}_2(\varphi, u, \omega t; v) = 0 \quad (2.4)$$

Здесь матрица

$$A = \begin{pmatrix} 1 & 0 \\ 0 & 1 \\ 0 & 0 \end{pmatrix}$$

нелинейные операторы  $\mathbf{F}(*), \mathbf{P}(*), \mathbf{Q}(*), \mathbf{Q}_j(*)$  ( $j=1, 2$ ) легко записываются в явном виде по системе уравнений (2.1)–(2.3). Отметим лишь, что  $\mathbf{F}(\dot{\mathbf{u}}, \mathbf{u}_\tau; \varepsilon) = \mathbf{F}_1(\dot{\mathbf{u}}, \varepsilon) + \mathbf{F}_2(\dot{\mathbf{u}}, \mathbf{u}_\tau; \varepsilon) + \dots$ , где  $\mathbf{F}_1(*), \mathbf{F}_2(*), \dots$  соответственно линейный, квадратичный и т. д. операторы. Индекс  $\tau$  подчеркивает наличие функциональной (интегральной) зависимости.

Уравнение (2.4) является согласно (1.1) уравнением с бесконечным запаздыванием. Остановимся кратко на постановке начально-краевой задачи для уравнения (2.4).

Наложим на функцию  $R^\sim(\tau)$  следующие ограничения:  $R^\sim(\tau), R^{\sim\prime}(\tau) > 0$  при  $-\infty < \tau < 0$ ,  $R^\sim(\tau) = O(\exp(\gamma_0 \tau))$  ( $\gamma_0 > 0$ ) при  $\tau \rightarrow -\infty$ ,  $R^\sim(\tau) = O(|\tau|^{\beta_0})$  ( $-1 < \beta_0 < 0$ ) при  $\tau \rightarrow 0$ .

Ниже  $L_2, W_2^j$  ( $j=1, 2, 3, 4$ ) пространства  $2\pi$ -периодических функций, принадлежащих на каждом отрезке длины  $2\pi$ -пространствам  $L_2(0, 2\pi)$  и

$W_2^j(0, 2\pi)$  соответственно,  $L_2^* \cap W_2^{j*} = \left\{ v(\varphi) \in L_2, W_2^j : \int_0^{2\pi} v(\varphi) d\varphi = 0 \right\}$ . По-

ложим далее  $\mathbf{H} = L_2 \otimes L_2 \otimes L_2$ ,  $\mathbf{H}_0 = W_2^4 \otimes W_2^{4*} \otimes W_2^2$ ,  $\mathbf{H}_0^\sim = W_2^2 \otimes W_2^{2*} \otimes W_2^2$ . Скалярное произведение  $(*, *)_\mathbf{H}$  и нормы в  $\mathbf{H}$  и  $\mathbf{H}_0$  определяются как суммы скалярных произведений и норм составляющих пространств.

Введем теперь пространство  $\mathbf{D}_\gamma$  ( $0 < \gamma < \gamma_0$ ) начальных условий, состоящее из вектор-функций  $\mathbf{v}(\varphi, \tau) = \text{col}(\theta_1(\varphi, \tau), r_1(\varphi, \tau), \lambda(\varphi))$  ( $-\infty < \varphi < \infty$ ,  $-\infty < \tau \leq 0$ ), удовлетворяющих следующим условиям:  $\mathbf{v}(\varphi, \tau) \in \mathbf{H}_0$  (по  $\varphi$ ),  $\|\mathbf{v}(\varphi, \tau)\|_{\mathbf{D}} = \sup_{-\infty < \tau \leq 0} (\exp(\gamma \tau) \|\mathbf{v}(\varphi, \tau)\|_{\mathbf{H}}) < \infty$ .

Под решением уравнения (2.4) будем понимать вектор-функцию  $\mathbf{u}(\varphi, t+\tau)$ , удовлетворяющую уравнению (2.4) и начальным условиям  $\mathbf{u}(\varphi, t+\tau)|_{t=0} = \mathbf{u}_0(\varphi, \tau) \in \mathbf{D}_\gamma$ ,  $\dot{\mathbf{u}}(\varphi, 0) \in \mathbf{H}_0^\sim$ .

В такой постановке начальная задача для уравнения (2.4) однозначно разрешима [2].

**3. Методика исследования системы уравнений (2.4).** Рассмотрим сначала линейное уравнение

$$A\ddot{\mathbf{u}} + \mathbf{F}_1(\mathbf{u}; 0) = 0 \quad (3.1)$$

Поведение решений (3.1) определяется спектром квадратичного пучка операторов

$$\mathbf{L}(p) \mathbf{e} \equiv \begin{pmatrix} p^2 e_1 - e_1'' + e_2''' - e_3' \\ -e_1''' + p^2 e_2 + e_2^{IV} + e_3 \\ -e_1' - e_2 \end{pmatrix} (\mathbf{e} = \text{col}(e_1, e_2, e_3)) \quad (3.2)$$

действующего в пространстве  $\mathbf{H}$  с областью определения  $\mathbf{H}_0$ . Спектр (3.2) состоит, как легко видеть, из множества точек

$$i\sigma_{\pm n} = \pm i\sigma_n = \pm in(n^2 - 1)/(n^2 + 1)^{1/2} \quad (i = \sqrt{-1}, n = 0, 1, 2, \dots) \quad (3.3)$$

кратность которых равна двум, при  $n \neq 1$ , и четырем при  $n = 1$ . При этом, каждой точке спектра  $\pm i\sigma_n$  ( $n > 1$ ) отвечают две собственные вектор-функции

ции

$$\begin{aligned} L(\pm i\sigma_n)e_{\pm nj} &= 0, \quad e_{\pm nj}(\varphi) = g(\pm i\sigma_n(-1)^{j-1}, \pm n) \times \\ &\times \exp(\pm in\varphi) \quad \bar{e}_{nj}(\varphi) = e_{-nj}(\varphi) \quad (j=1, 2); \\ g(i\sigma_n, n) &= \text{col}((n\sigma_n)^{-1}, -i\sigma_n^{-1}, i2\sigma_n(n^2-1)^{-1}) \end{aligned} \quad (3.4)$$

Точки спектра  $\sigma_0=\sigma_1=0$ , отвечают три собственные функции и три при соединенные, явный вид которых в работе не используется.

Отметим, что сопряженным с (3.2) в Н пучком операторов будет пучок операторов

$$L^*(p)h \equiv \begin{pmatrix} p^3 h_1 - h_1'' + h_2''' + h_3' \\ -h_1''' + p^2 h_2 + h_2^{IV} - h_3 \\ h_2' + h_3 \end{pmatrix} \quad (h = \text{col}(h_1, h_2, h_3))$$

спектр которого состоит также из точек (3.3, а собственные вектор-функции, отвечающие точкам спектра  $\pm i\sigma_n$  ( $n>1$ ) имеют вид

$$\begin{aligned} h_{\pm nj}(\varphi) &= g^*(\pm i\sigma_n(-1)^{j-1}, \pm n) \exp(\pm in\varphi) \\ \bar{h}_{nj}(\varphi) &= h_{-nj}(\varphi) \quad (j=1, 2) \end{aligned} \quad (3.5)$$

$$g^*(i\sigma_n, n) = \text{col}(n\sigma_n, -in^2\sigma_n, 2n^2\sigma_n^2/(n^2-1))/(n^2+1)$$

Между (3.4) и (3.5) выполняются следующие условия ортогональности  $(Ae_{nj_1}(\varphi), h_{nj_2}(\varphi))_H = \delta_{n_1, n_2}^{ij_1 j_2}$  ( $n_1, n_2 = \pm 2, \pm 3, \dots, j_1, j_2 = 1, 2$ ),  $\delta_{n_1, n_2}^{ij_1 j_2}$  — символ Кронекера.

Положим теперь  $\lambda_0 = \sigma_n + \varepsilon\delta$  и будем считать в дальнейшем  $\omega \gg 1$ ;  $v\omega^2, |\Omega| \ll 1$ . Для анализа колебательных решений уравнения (2.4) воспользуемся методикой работы [3].

Введем для этого в рассмотрение выражение

$$\begin{aligned} U(\varphi, \lambda_0 t, \omega t, z_n; \varepsilon, v, \Omega) &= vu_0(\varphi, \omega t; v) + \sum_{\substack{h_1, h_2, h_3 = \pm n \\ j_1, j_2, j_3 = 1, 2}} (u_{h_1 j_1}(\varphi, \lambda_0 t; \varepsilon, \Omega) z_{h_1 j_1} + \\ &+ u_{h_1 j_1, h_2 j_2}(\varphi) z_{h_1 j_1} z_{h_2 j_2} + u_{h_1 j_1, h_2 j_2, h_3 j_3}(\varphi) z_{h_1 j_1} z_{h_2 j_2} z_{h_3 j_3}) \end{aligned} \quad (3.6)$$

Здесь  $z_n = (z_{n1}, z_{-n1}, z_{n2}, z_{-n2})$ , где  $z_{kj}$  — комплексные величины ( $\bar{z}_{kj} = z_{-kj}$ ),  $u_*(*)$  вектор-функции со значениями в  $C^3$ , являющиеся по  $\varphi, \lambda_0 t, \omega t$  — периодическими многочленами. При этом

$$u_0(\varphi, \omega t, v) u_{01}(\varphi, \omega t) = vu_{02}(\varphi, \omega t) = \dots$$

$$u_{h_1 j_1}(\varphi, \lambda_0 t; \varepsilon, \Omega) = e_{h_1 j_1}(\varphi) + \varepsilon u_{h_1 j_1}^1(\varphi, \lambda_0 t) + \Omega u_{h_1 j_1}^2(\varphi)$$

Наряду с (3.7) введем следующую систему обыкновенных дифференциальных уравнений

$$\begin{aligned} \dot{z}_{n1} &= \lambda_n(\varepsilon) z_{n1} + i\Omega k_n z_{n1} + i\varepsilon A_n \exp(i2\lambda_0 t) \bar{z}_{n2} + \\ &+ iz_{n1}(d_{n1}|z_{n1}|^2 + d_{n2}|z_{n2}|^2) + v^n \omega^{2n-1} B_n \exp(in\omega t) \end{aligned} \quad (3.7)$$

$$\begin{aligned} \dot{\bar{z}}_{n2} &= \bar{\lambda}_n(\varepsilon) \bar{z}_{n2} + i\Omega k_n z_{n1} - i\varepsilon A_n \exp(-i2\lambda_0 t) z_{n1} - \\ &- iz_{n2}(d_{n2}|z_{n1}|^2 + d_{n1}|z_{n2}|^2) + v^n \omega^{2n-1} \bar{B}_n \exp(-in\omega t) \end{aligned} \quad (3.8)$$

$$\lambda_n(\varepsilon) = i\sigma_n + \varepsilon(\tau_n^{-1} + i\sigma_n^{-1})$$

Выражение (3.6) совместно с системой (3.7) — (3.8) приближенно описывают множество решений уравнения (2.4), в которых ведущей является  $n$ -форма.

Вычисление коэффициентов системы (3.7)–(3.8) осуществляется по следующей схеме. Вычисляются сначала производные  $d\mathbf{U}(*)/dt$  и  $d^2\mathbf{U}(*)/dt^2$  в силу системы уравнений (3.7)–(3.8). Затем эти выражения совместно (3.6) подставляются в уравнения (2.4). В результате получаем равенство, связывающее функции  $\mathbf{u}_*(*)$ . Приравнивая теперь последовательно коэффициенты при  $v, \varepsilon z_{n_1}, \varepsilon \bar{z}_{n_2}, \Omega z_{n_1}, \Omega \bar{z}_{n_2}, z_{n_1}^2, \dots$  и т. д. и учитывая периодическую структуру коэффициентов выражения (3.6) по переменным  $\varphi, \lambda_0 t, \omega t$ , получим рекуррентную последовательность операторных уравнений в пространстве  $H$  вида

$$\text{либо } L(il_1\omega)\mathbf{u} = \mathbf{f}_1, \text{ либо } L(il_2\sigma_n)\mathbf{u} = \mathbf{f}_2 \quad (3.9)$$

где  $l_1, l_2$  – некоторые целые числа. При этом оператор  $L^*(il_1\omega)$  имеет точку спектра  $p_{l_1\omega} \rightarrow 0$  при  $\omega \rightarrow \infty$ . Обозначим через  $\mathbf{h}_{l_1\omega}(\varphi)$  собственный вектор  $L^*(il_1\omega)\mathbf{h}_{l_1\omega} = p_{l_1\omega}\mathbf{h}_{l_1\omega}$ . При  $l_2 \neq \pm 1$  второе уравнение (3.9), очевидным образом, однозначно разрешимо. Условия разрешимости  $(\mathbf{f}_1, \mathbf{h}_{l_1\omega})_H = 0$  и  $(\mathbf{f}_2, \mathbf{h}_{l_2\sigma_n})_H = 0$  ( $j=1, 2$ ) при  $l_2 = \pm 1$  позволяют однозначно определить коэффициенты системы уравнений (3.7)–(3.8), которые имеют следующий вид:

$$\tau_n^{-1} + i\sigma_n^{-1} = -R_s(\sigma_n)\sigma_n/2 - i\{R_c(\sigma_n)\sigma_n/2 + a(d^{-1}-1/2)[d^2(n^2+1)^{1/2}(n^2-1)]^{-1/2}\},$$

$$R_c(\sigma) = \int_0^\infty R^*(-\tau) \cos(\sigma\tau) d\tau, \quad R_s(\sigma) = \int_0^\infty R^*(-\tau) \sin(\sigma\tau) d\tau$$

составляющие нормированного комплексного модуля упругости  $E^*(\sigma) = -(1-\varepsilon R_c(\sigma) + i\varepsilon R_s(\sigma))$  ( $R_s(\sigma) > 0$ ) материала кольца, который определяется экспериментально,  $k_n = 2n/(n^2+1)$ ,  $A_n = a(d^{-1}-1/2)[d^2(n^2+1)^{1/2}(n^2-1)]^{-1/2}$ . Коэффициенты  $d_{n_1}, d_{n_2}$  вычислялись по изложенной схеме на ЭВМ. В результате имеем:  $d_{21} = 0,1169 \cdot 10^4$ ,  $d_{22} = -0,7965$ ,  $d_{31} = 0,9006$ ,  $d_{32} = -0,9919 \cdot 10^4$ . Значения  $B_n$  при этом равны:  $B_2 = 3\sigma_2/64$ ,  $B_3 = -i\sigma_3/256$ .

Как оказывается [3], экспоненциально устойчивым (неустойчивым) установившимся решениям (периодическим, многочастотным и т. д.)  $z_{n_1}^*(t; \varepsilon, v, \Omega), \bar{z}_{n_2}^*(t; \varepsilon, v, \Omega)$  системы уравнений (3.7)–(3.8) в уравнении (2.4) соответствует такой же установившийся режим и того же характера устойчивости. При этом, асимптотическая формула этого режима получается подстановкой  $z_{n_1}^*(*)$ ,  $\bar{z}_{n_2}^*(*)$  в (3.6).

#### 4. Анализ установившихся решений системы уравнений (3.7)–(3.8).

Выполним в (3.7)–(3.8) полярную замену переменных  $z_{nj} = r_{nj} \exp(i\tau_{nj})$  ( $r_{nj} \geq 0, j=1, 2$ ) и перейдем к «медленным»  $r_{n_1}, r_{n_2}, \omega_{n_1} = \lambda_0 t - (\tau_{n_1} + \tau_{n_2})/2$ ,  $\omega_{n_2} = \tau_{n_1} - \tau_{n_2}$  и «быстрым»  $\alpha_n = n\omega t - \tau_{n_1}$ ,  $s_n = \lambda_0 t = (\sigma_n + \varepsilon\delta)t$  переменным. В результате будем иметь систему уравнений медленных

$$\begin{aligned} r_{n_1} &= \varepsilon(\tau_{n_1}^{-1}r_{n_1} - A_n \sin(2\omega_{n_1})r_{n_2}) + v^n \omega^{2n-1} |B_n| \times \\ &\quad \times \cos(\alpha_n + \beta_n) \equiv R_{n_1}(r_{n_1}, r_{n_2}, \omega_{n_1}, \alpha_n) \end{aligned} \quad (4.1)$$

$$\begin{aligned} r_{n_2} &= \varepsilon(\tau_{n_2}^{-1}r_{n_2} - A_n \sin(2\omega_{n_1})r_{n_1}) + v^n \omega^{2n-1} |B_n| \times \\ &\quad \times \cos(\alpha_n + \omega_{n_2} + \beta_n) \equiv R_{n_2}(r_{n_1}, r_{n_2}, \omega_{n_1}, \omega_{n_2}, \alpha_n) \end{aligned} \quad (4.2)$$

$$\begin{aligned} \omega_{n_1} &= \varepsilon[\delta - \sigma_n^{-1} - A_n \cos(2\omega_{n_1})(r_{n_2}/r_{n_1} + r_{n_1}/r_{n_2})/2] - \\ &\quad - (d_{n_1} + d_{n_2})(r_{n_1}^{-2} + r_{n_2}^{-2})/2 - v^n \omega^{2n-1} |B_n| (\sin(\alpha_n + \beta_n)/r_{n_1} + \end{aligned} \quad (4.3)$$

$$+ \sin(\alpha_n + \omega_{n_2} + \beta_n)/r_{n_2})/2 \equiv \Omega_{n_1}(r_{n_1}, r_{n_2}, \omega_{n_1}, \omega_{n_2}, \alpha_n)$$

$$\begin{aligned} \omega_{n_2} &= \Omega_2 K_n - \varepsilon A_n \cos(2\omega_{n_1})(r_{n_2}/r_{n_1} - r_{n_1}/r_{n_2}) + \\ &\quad + (d_{n_1} - d_{n_2})(r_{n_1}^{-2} - r_{n_2}^{-2}) + v^n \omega^{2n-1} |B_n| (\sin(\alpha_n + \beta_n)/r_{n_1} - \\ &\quad - \sin(\alpha_n + \omega_{n_2} + \beta_n)/r_{n_2}) \equiv \Omega_{n_2}(r_{n_1}, r_{n_2}, \omega_{n_1}, \omega_{n_2}, \alpha_n) \end{aligned} \quad (4.4)$$

и быстрых переменных

$$\begin{aligned}\alpha_n \cdot &= n\omega - \sigma_n - \varepsilon \sigma_n^{-1} - \varepsilon A_n \cos(2\omega_{n1}) r_{n2}/r_{n1} - \\ &- d_{n1} r_{n1}^2 - d_{n2} r_{n2}^2 - v^n \omega^{2n-1} |B_n| \sin(\alpha_n + \beta_n)/r_{n1} = \\ &= n\omega - Y_n(r_{n1}, r_{n2}, \omega_{n1}, \omega_{n2}, \alpha_n) \quad (4.5)\end{aligned}$$

$$s_n \cdot = \sigma_n + \varepsilon \delta, B_n = |B_n| \exp(i\beta_n) \quad (4.6)$$

При  $v=0$  (отсутствие вибрационного воздействия) переменная  $\alpha_n$  исчезает. Остается одно уравнение быстрых переменных (4.6). Рассмотрим сначала этот случай.

Система уравнений (4.1) – (4.4) будет иметь глобально устойчивую инвариантную гиперплоскость  $r_{n1}=r_{n2}$ . Глобальная устойчивость доказывается посредством функции Ляпунова  $V^*(r_{n1}, r_{n2})=r_{n1}^2-r_{n2}^2$ . На инвариантной плоскости (4.1) – (4.4) сводится к системе уравнений

$$r_n \cdot = \varepsilon (\tau_n^{-1} - A_n \sin(2\omega_{n1})) r_n \quad (4.7)$$

$$\omega_{n1} \cdot = \varepsilon (\delta - \sigma_n^{-1} - A_n \cos(2\omega_{n1}) - c_n r_n^2) \quad (4.8)$$

$$\omega_{n2} \cdot = \Omega \cdot 2k_n \quad (4.9)$$

$$\varepsilon^{\frac{1}{2}} r_n = r_{n1} = r_{n2}, c_n = d_{n1} + d_{n2}.$$

Система (4.7) – (4.8) легко анализируется. Предельных циклов она иметь не может. Ненулевое по  $r_n$  состояние равновесия существует лишь при условии  $|A_n| > -\tau_n^{-1}$  (порог параметрического возбуждения колебаний) и определяется равенством

$$r_n = r_n(\delta) = [c_n^{-1}(\delta - \sigma_n^{-1} \pm \sqrt{|A_n|^2 - (\tau_n^{-1})^2})]^{\frac{1}{2}} \quad (4.10)$$

которое является амплитудно-частотной характеристикой уравнения (2.4). Равенство (4.10) определяет одно, либо два значения  $r_n$  в зависимости от  $\delta$ , т. е. справедлив эффект затягивания амплитуды колебаний. Устойчивым, в чем легко убедиться простой линеаризацией, является то состояние равновесия  $(r_n^*, \omega_{n1}^*)$  системы (4.7) – (4.8), которое имеет большее значение  $r_n^*$ . При этом  $\omega_{n1}^*$  определяется из (4.7). Каждому состоянию равновесия системы (4.7) – (4.8) в системе (3.7) – (3.8) соответствует однопараметрическое семейство решений

$$\begin{aligned}z_{n1}^*(t; \varepsilon, \Omega) &= \varepsilon^{\frac{1}{2}} r_n^* \exp(i(\sigma_n^* t + \Omega k_n t + \omega_{n2}^* / 2)) \\ z_{n2}^*(t; \varepsilon, \Omega) &= \varepsilon^{\frac{1}{2}} r_n^* \exp(-i(\sigma_n^* t - \Omega k_n t - \omega_{n2}^* / 2)) \quad (4.11)\end{aligned}$$

зависящих от  $\omega_{n2}^*$  как от параметра и того же характера устойчивости, где  $\sigma_n^* = \sigma_n + \varepsilon \sigma_n^{-1} + \varepsilon A_n \cos(2\omega_{n1}^*) + \varepsilon c_n (r_n^*)^2$ .

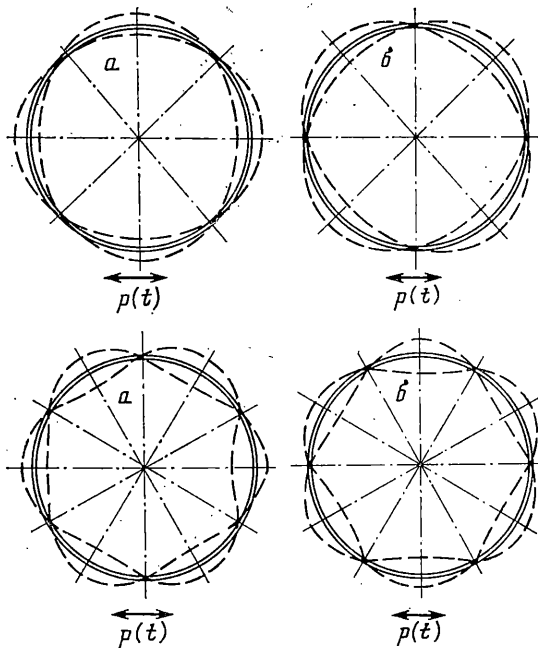
Решения (4.11) определяют в свою очередь однопараметрическое семейство прецессирующих волн уравнения (2.4), имеющих следующее асимптотическое представление

$$\begin{aligned}\mathbf{u}(\varphi; t; \varepsilon, \Omega) &= \varepsilon^{\frac{1}{2}} r_n^* (\mathbf{u}_n^*(\varphi, t) \exp(i(\Omega k_n t - \omega_{n2}^* / 2)) + \\ &+ \bar{\mathbf{u}}_n^*(\varphi, t) \exp(-i(\Omega k_n t + \omega_{n2}^* / 2))) + O((\varepsilon^2 + \Omega^2)^{\frac{1}{2}}) \quad (4.12) \\ \mathbf{u}_n^*(\varphi, t) &= \mathbf{e}_{n1}(\varphi) \exp(i\sigma_n^* t) + \mathbf{e}_{n2}(\varphi) \exp(-i\sigma_n^* t)\end{aligned}$$

Отметим, что при этом угол поворота волнового фронта  $\theta_n(t)$  решений (4.12) и функция  $\omega_{n2}(t)$  связаны соотношением:

$$\theta_n(t) = -\omega_{n2}(t)/(2n) \quad (4.13)$$

Это дает возможность определять по (4.12) величину угла поворота относительно инерциального пространства  $\Omega t$  [1].



Фиг. 2

Рассмотрим теперь случай  $v \neq 0$ . Для анализа системы уравнений (4.1)–(4.5) воспользуемся методом усреднения. Будем использовать специальную схему метода усреднения [4, с. 394], позволяющую строить усредненные уравнения в виде разложения по  $\omega^{-1}$ . В результате будем иметь следующую систему усредненных уравнений

$$\dot{r_{nj}} = R_{nj}^\circ(r_{n1}, r_{n2}, \omega_{n1}) + \omega^{-2} R_{nj}^2(r_{n1}, r_{n2}, \omega_{n1}, \omega_{n2}) + \dots \quad (4.14)$$

$$\dot{\omega_{nj}} = \Omega_{nj}^\circ(r_{n1}, r_{n2}, \omega_{n1}) + \omega^{-2} \Omega_{nj}^2(r_{n1}, r_{n2}, \omega_{n1}, \omega_{n2}) + \dots$$

$$(j=1, 2) \quad (4.15)$$

$$\dot{\alpha_n} = n\omega - Y_n^\circ(r_{n1}, r_{n2}, \omega_{n1}) - \omega^{-2} Y_n^2(r_{n1}, r_{n2}, \omega_{n1}, \omega_{n2}) + \dots \quad (4.16)$$

$$R_{nj}^\circ(*) = \langle R_{nj}(*, \alpha_n) \rangle, \quad \Omega_{nj}^\circ(*) = \langle \Omega_{nj}(*, \alpha_n) \rangle,$$

$$Y_n^\circ(*) = \langle Y_n(*, \alpha_n) \rangle \quad \left( \langle g(\alpha_n) \rangle = \int_0^{2\pi} g(\alpha_n) d\alpha_n \right)$$

точками обозначены члены, имеющие по  $\omega^{-1}$  более высокий порядок малости. При этом

$$\begin{aligned} \Omega_{n2}^2(r_{n1}, r_{n2}, \omega_{n1}, \omega_{n2}) &= v^{2n} \omega^{4n-2} \frac{|B_n|^2}{2n^2} \left( -\frac{\partial R_{n1}^\circ}{\partial r_{n2}} \frac{1}{r_{n1}^2} - \frac{\partial R_{n2}^\circ}{\partial r_{n1}} \frac{1}{r_{n2}^2} + \right. \\ &\quad \left. + \frac{\partial \Omega_{n2}^\circ}{\partial \omega_{n1}} \frac{1}{r_{n1} r_{n2}} + \frac{\partial^2 \Omega_{n2}^\circ}{\partial \omega_{n1} \partial r_{n2}} \frac{1}{r_{n1}} - \frac{\partial^2 \Omega_{n2}^\circ}{\partial \omega_{n1} \partial r_{n1}} \frac{1}{r_{n2}} - \frac{\partial Y_n^\circ}{\partial \omega_{n1}} \frac{1}{r_{n1} r_{n2}} \right) \sin \omega_{n2} \end{aligned}$$

Явный вид остальных функций, входящих в (4.14)–(4.16), использовать не будет. Определяя теперь из первых трех уравнений системы (4.14)–(4.15) состояния равновесия

$$\begin{aligned} r_{nj}^*(\omega_{n2}) &= r_n^* + \omega^{-2} r_{nj}^{*2}(\omega_{n2}) + \dots \quad (j=1, 2) \\ \omega_{n1}^*(\omega_{n2}) &= \omega_{n1}^* + \omega^{-2} \omega_{n1}^{*2}(\omega_{n2}) + \dots \end{aligned} \quad (4.17)$$

и подставляя их в четвертое уравнение, получим с учетом равенства  $\Omega_{n2}^2(r_n^*, r_n^*, \omega_{n1}^*, \omega_{n2}) = -v^{2n} \omega^{4n-2} |B_n|^2 \tau_n^1 / (nr_n^*)^2 \sin(\omega_{n2})$  следующее уравнение для определения  $\omega_{n2}(t)$ :

$$\omega_{n2} = \Omega 2k_n - v^{2n} \omega^{4(n-1)} 2|B_n|^2 \tau_n^1 / (nr_n^*)^2 \sin(\omega_{n2}) + O(v^{2n} \omega^{4n-6}) \quad (4.18)$$

Уравнение (4.18) совместно с (4.17) определяют динамику установившегося решения системы (4.1)–(4.6) и тем самым уравнения (2.4). Отметим, что установившимся решением (2.4) будет в зависимости от  $\Omega$  стоячая или прецессирующая двухчастотная волна, полученная наложением на параметрически возбуждаемый периодический режим высокочастотной вибрационной составляющей. Согласно (4.13), (4.18) угол прецессии волнового фронта определяется уравнением

$$\theta_n = -\Omega \frac{2}{n^2+1} - v^{2n} \omega^{4(n-1)} \frac{|B_n|^2 \tau_n^1}{n^3 (r_n^*)^2} \sin(2n\theta_n) + O(v^{2n} \omega^{4n-6}) \quad (4.19)$$

Из (4.19) следует, что при  $\Omega=0$  возможны лишь два установившихся значения  $\theta_n$ :  $\theta_n=0$ ,  $\theta_n=\pi/(2n)$ . Первое, как легко видеть, неустойчивое, второе – устойчивое. На фиг. 2, а, б для  $n=2, 3$  приведены соответственно неустойчивое и устойчивое положения стоячей волны относительно оси вибрации. Величина порогового значения угловой скорости определяется равенством

$$\Omega^* = -v^{2n} \omega^{4(n-1)} (n^2+1) |B_n|^2 \tau_n^1 / [n^3 (r_n^*)^2] \quad (4.20)$$

В заключение для  $n=2$  приведем формулы (4.19)–(4.20) в размерных величинах, используя соотношения:  $-T_* \varepsilon \tau_n^1 = \lambda_0 / (2Q)$ ,  $\lambda_0 = T_* \sigma_n$ ,  $r_n^* = R \varepsilon^{1/2} r_n^*$ . Здесь  $Q$  – добротность резонатора,  $r_n^{*\vee}$  – амплитуда колебаний резонатора по  $n$ -форме.

$$\begin{aligned} \theta_2 &= -\frac{2}{5} \Omega + \frac{9}{65536} \frac{v^4 \omega^4 \lambda_0^3 (\rho S)^3 R^{10}}{(r_2^{*\vee})^2 Q (EI)^3} \sin(4\theta_2) \\ \Omega^* &= \frac{45}{131072} \frac{v^4 \omega^4 \lambda_0^3 (\rho S)^3 R^{10}}{(r_2^{*\vee})^2 Q (EI)^3} \end{aligned}$$

Автор благодарит В. Ф. Журавлева за весьма полезное обсуждение результатов работы.

#### СПИСОК ЛИТЕРАТУРЫ

- Журавлев В. Ф., Клинов Д. М. Волновой твердотельный гироскоп. М.: Наука, 1985. 125 с.
- Schumacher K. Existence and continuous dependence for functional-differential equations with unbounded delay // Arch. Reaction. Mech. and Analysis. 1979. V. 67. № 4. P. 315–335.
- Кубышкин Е. П. Автоколебательные решения одного класса сингулярно возмущенных краевых задач // Дифференц. ур-ния. 1989. Т. 25. № 4. С. 674–685.
- Боголюбов Н. Н., Митропольский Ю. А. Асимптотические методы в теории нелинейных колебаний. М.: Наука, 1974. 503 с.

Ярославль

Поступила в редакцию  
5.VII.1989